

Lyra2

Password Hashing Scheme with improved security against time-memory trade-offs (TMTO)

Ewerton Rodrigues Andrade

eandrade@larc.usp.br

Escola Politécnica da Universidade de São Paulo – EP/USP

Agências de fomento:
CAPES, FDTE e Erasmus Mundus

Defesa de Tese de Doutorado

07 de junho de 2016

Banca Examinadora:

Prof Dr Marcos Antonio Simplicio Junior – EP/USP (*presidente*)

Prof Dr Wilson Vicente Ruggiero – EP/USP

Prof^a Dr^a Denise Hideko Goya – CMCC/UFABC

Prof Dr Diego de Freitas Aranha – IC/UNICAMP

Dr Rafael Misoczki – Intel Labs

Sumário

1 Introdução

- Motivação
- Objetivos
- Metodologia

2 Lyra2

- *The Bootstrapping phase*
- *The Setup phase*
- *The Wandering phase*
- *The Wrap-up phase*

3 Lyra2 x scrypt x finalistas do PHC

- Segurança
- Desempenho

4 BlaMka

- Resultados Parciais

5 Considerações Finais

- Principais Resultados
- Trabalhos Futuros

Sumário

1 Introdução

- Motivação
- Objetivos
- Metodologia

2 Lyra2

- *The Bootstrapping phase*
- *The Setup phase*
- *The Wandering phase*
- *The Wrap-up phase*

3 Lyra2 x scrypt x finalistas do PHC

- Segurança
- Desempenho

4 BlaMka

- Resultados Parciais

5 Considerações Finais

- Principais Resultados
- Trabalhos Futuros

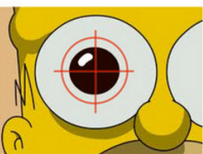
Motivação

A **autenticação é vital** para a segurança dos sistemas computacionais modernos



Motivação

A autenticação é vital para a segurança dos sistemas computacionais modernos

KNOW	HAVE	ARE
		
Passwords ID Questions Secret Images	Token (Smart) Card Phone	Face Iris Hand/Finger

Motivação (*Cont.*)

A maioria dos usuários escolhe senhas com uma **entropia relativamente baixa** (aproximadamente 40.5 bits [FH07])

Facilitando a execução de ataques de “força-bruta”:

- Dicionário
- Busca exaustiva
- Tabelas pré-calculadas (*Rainbow tables*, tabelas de hashs, ...)

Motivação (Cont.)

A maioria dos usuários escolhe senhas com uma **entropia relativamente baixa** (aproximadamente 40.5 bits [FH07])

Facilitando a execução de ataques de “força-bruta”:

- Dicionário
- Busca exaustiva
- Tabelas pré-calculadas (*Rainbow tables*, tabelas de hashes, ...)

Como aumentar o custo destes ataques?

Empregando **Esquemas de Hash de Senhas** (PHS):

PBKDF2
bcrypt
scrypt
Lyra



PHS ao longo dos anos

- 60's

armazenar: "*password*"

- 70's

armazenar: *hash("password")*

- final dos 70's, 80's e meados dos 90's

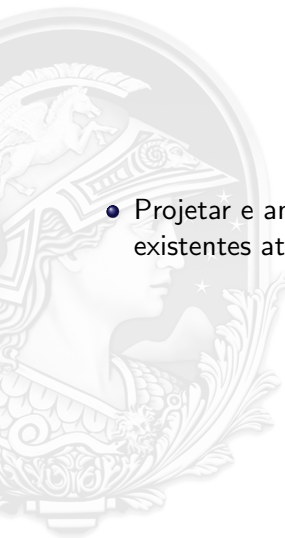
armazenar: *hash("password", salt)*

- 2000's ...

armazenar: *hash("password", salt, cost)*

Objetivo Geral

- Projetar e analisar uma **melhor alternativa** aos algoritmos existentes atualmente



Objetivos Específicos

Manutenção

Manter a eficiência e flexibilidade do Lyra, o que inclui:

- A capacidade de **configurar a quantidade de memória e o tempo** de processamento utilizados pelo algoritmo (*flexibilidade*)
- A capacidade de **utilizar mais memória** para um tempo de processamento similar ao do scrypt (*eficiência*)



Objetivos Específicos

Manutenção

Manter a eficiência e flexibilidade do Lyra, o que inclui:

- A capacidade de **configurar a quantidade de memória e o tempo** de processamento utilizados pelo algoritmo (*flexibilidade*)
- A capacidade de **utilizar mais memória** para um tempo de processamento similar ao do scrypt (*eficiência*)

Melhoria (segurança)

Em comparação ao seu predecessor, o Lyra2 adiciona:

- Melhorias no nível de segurança contra ataques que substituam memória por tempo de processamento (**TMTO** – *time-memory trade-offs*)
- Ajustes que aumentam o custo envolvido na **construção de um hardware** dedicado para atacar o algoritmo
- Equilíbrio entre ataques de **canal colateral** (*side-channel*) e ataques que se baseiam no uso de dispositivos de **memória mais barata** (e, consequentemente, mais lenta)

Metodologia

- Pesquisa aplicada, baseada em **hipótese-dedução**, utilizando referências científicas para definição do problema, especificação da hipótese de solução e sua avaliação
- **Principais etapas:**
 - Revisão da literatura
 - Projeto do algoritmo
 - Comparação com as soluções existentes
 - Escrita da tese e artigos



Sumário

1 Introdução

- Motivação
- Objetivos
- Metodologia

2 Lyra2

- *The Bootstrapping phase*
- *The Setup phase*
- *The Wandering phase*
- *The Wrap-up phase*

3 Lyra2 x scrypt x finalistas do PHC

- Segurança
- Desempenho

4 BlaMka

- Resultados Parciais

5 Considerações Finais

- Principais Resultados
- Trabalhos Futuros

Visão geral (*Esponjas criptográficas*)

- Construído sobre a estrutura de **Esponjas criptográficas**

Por que?

Elegância, Flexibilidade, **Segurança**

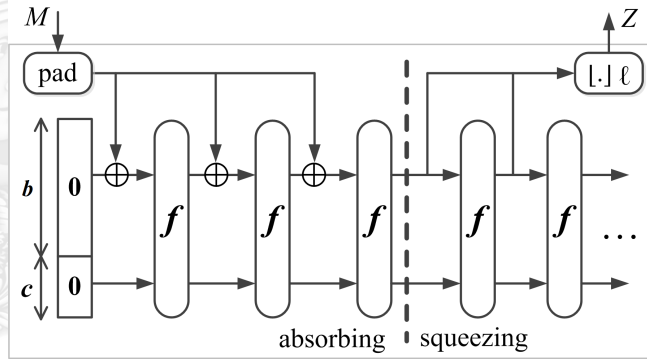


Visão geral (*Esponjas criptográficas*)

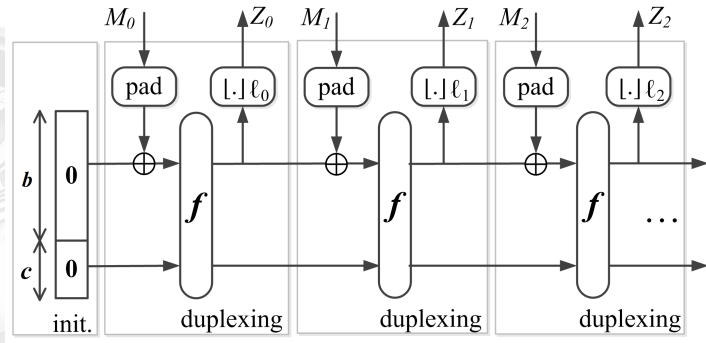
- Construído sobre a estrutura de **Esponjas criptográficas**

Por que?

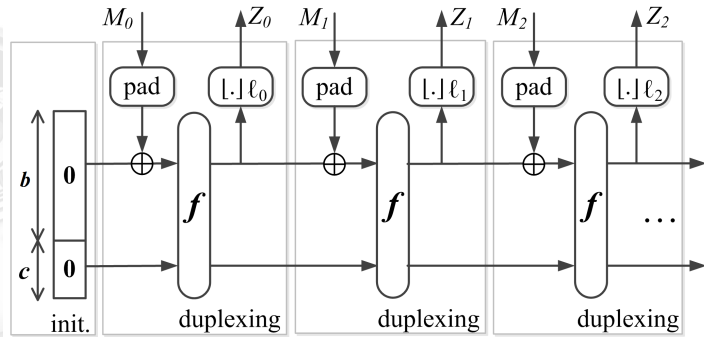
Elegância, Flexibilidade, **Segurança**



Visão geral (*Esponjas criptográficas*)



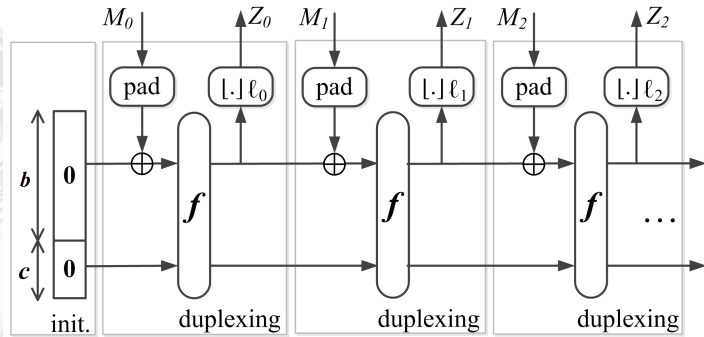
Visão geral (*Esponjas criptográficas*)



Instâncias

- Keccak (SHA-3), Quark, Photon, Spongent, Gluon ... [BDPA07]

Visão geral (*Esponjas criptográficas*)



Instâncias

- Keccak (SHA-3), Quark, Photon, Spongent, Gluon ... [BDPA07]

PHC special recognition

“pelo design elegante, baseado em esponjas criptográficas” [PHC15]

Visão geral (*Lyra2*)

- Baseado em quatro fases
 - **Bootstrapping**: Inicializa a esponja e as variáveis utilizadas pelo algoritmo
 - **Setup**: Inicializa a matriz de memória
 - **Wandering**: Visita e reescreve a matriz de memória iterativamente
 - **Wrap-up**: Provê a saída

The Bootstrapping phase

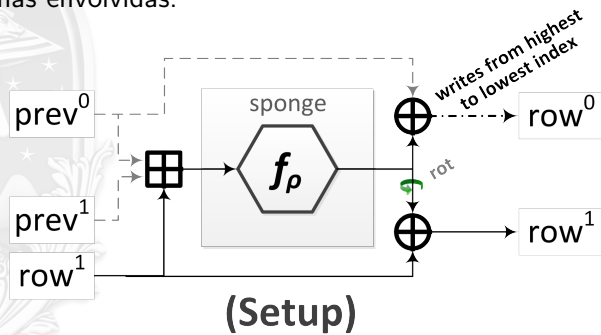
Inicializa a esponja e as variáveis utilizadas pelo algoritmo

- Absorve (operação *absorb*): *pwd*, *salt*, e *parameters*
- Inicializa demais variáveis (*contadores*)

The Setup phase

Inicializa a matriz de memória

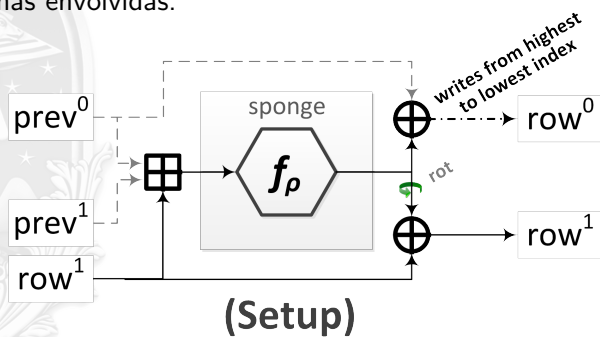
- Determinística (*i.e., protege de ataques por canal colateral*)
- Linhas envolvidas:



The Setup phase

Inicializa a matriz de memória

- Determinística (*i.e., protege de ataques por canal colateral*)
- Linhas envolvidas:



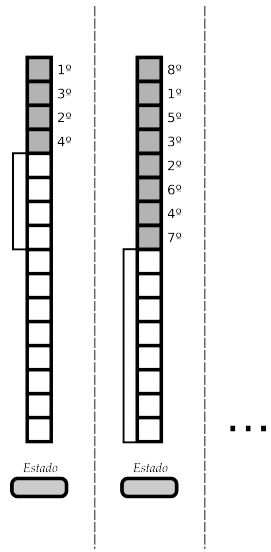
- Dificulta o pipelining, e aumenta a latência em hardware (*em ataques*)

The Setup phase (*natureza determinística*)

$$\begin{bmatrix} 0 & 2 \\ 1 & 3 \end{bmatrix}$$

$$\begin{bmatrix} 0 & 4 \\ 1 & 5 \\ 2 & 6 \\ 3 & 7 \end{bmatrix}$$

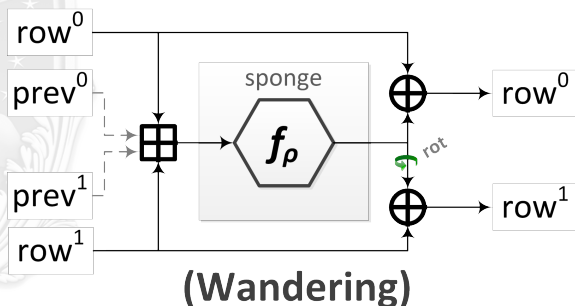
- Caso wnd possua **raiz quadrada**:
 - Diagonais cíclicas serão visitadas
 - $\text{sqrt} = \sqrt{wnd}$
- **Caso contrário:**
 - Anti-diagonais cíclicas serão visitadas
 - $\text{sqrt} = 2\sqrt{wnd}/2$



The Wandering phase

Visita e reescreve a matriz de memória iterativamente

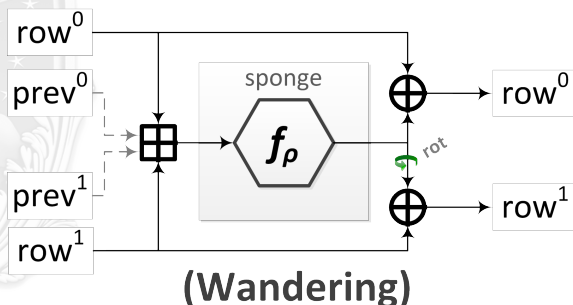
- Natureza pseudo-aleatória (*aumento o TMTO*)
- As colunas também são selecionadas pseudo-aleatoriamente (*diminui o desempenho: GPUs e plat. com cache pequeno*)
- Linhas envolvidas:



The Wandering phase

Visita e reescreve a matriz de memória iterativamente

- Natureza pseudo-aleatória (*aumento o TMTO*)
- As colunas também são selecionadas pseudo-aleatoriamente (*diminui o desempenho: GPUs e plat. com cache pequeno*)
- Linhas envolvidas:



- Prioriza plat. legítimas, e aumenta o custo de hardwares dedicados

The Wrap-up phase

Provê a saída

- Provê como saída uma cadeia de bits de tamanho k (*squeeze*)

Sumário

1 Introdução

- Motivação
- Objetivos
- Metodologia

2 Lyra2

- *The Bootstrapping phase*
- *The Setup phase*
- *The Wandering phase*
- *The Wrap-up phase*

3 Lyra2 x scrypt x finalistas do PHC

- Segurança
- Desempenho

4 BlaMka

- Resultados Parciais

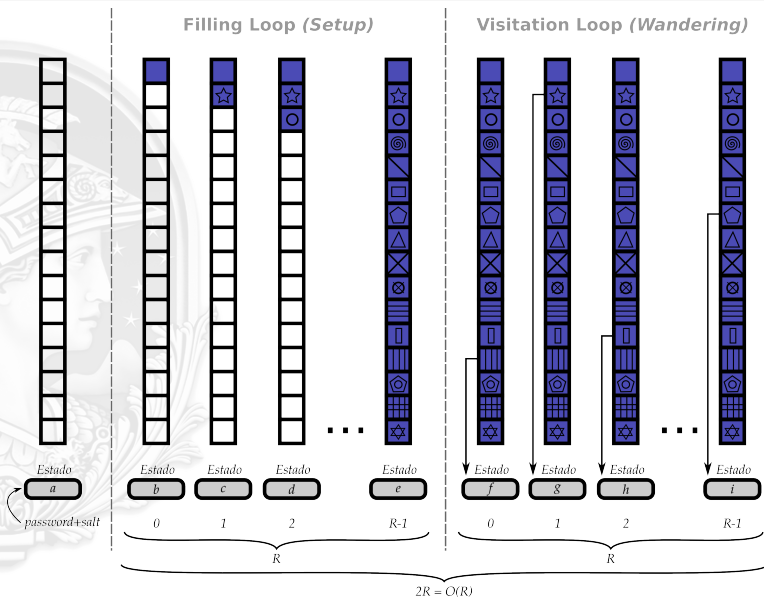
5 Considerações Finais

- Principais Resultados
- Trabalhos Futuros

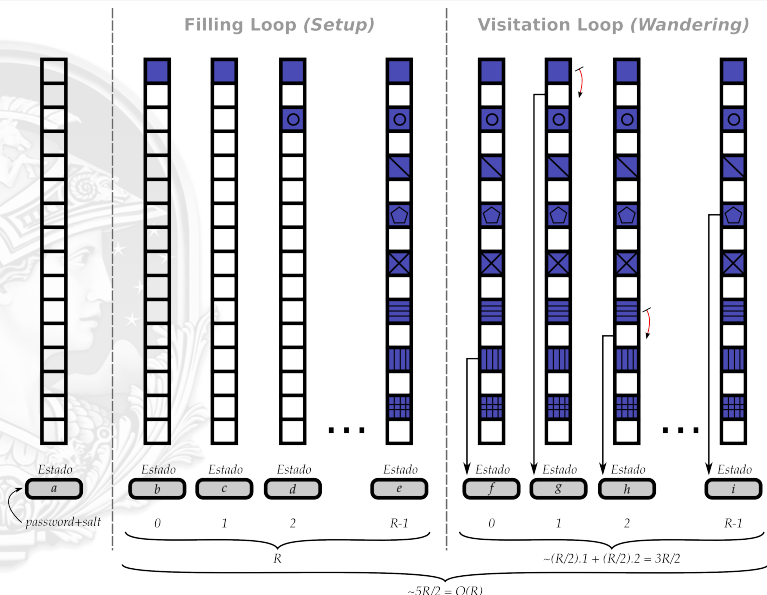
Low-Memory attacks: Estratégias

- *Consumer-producer strategy*
- *Sentinel-based strategy*

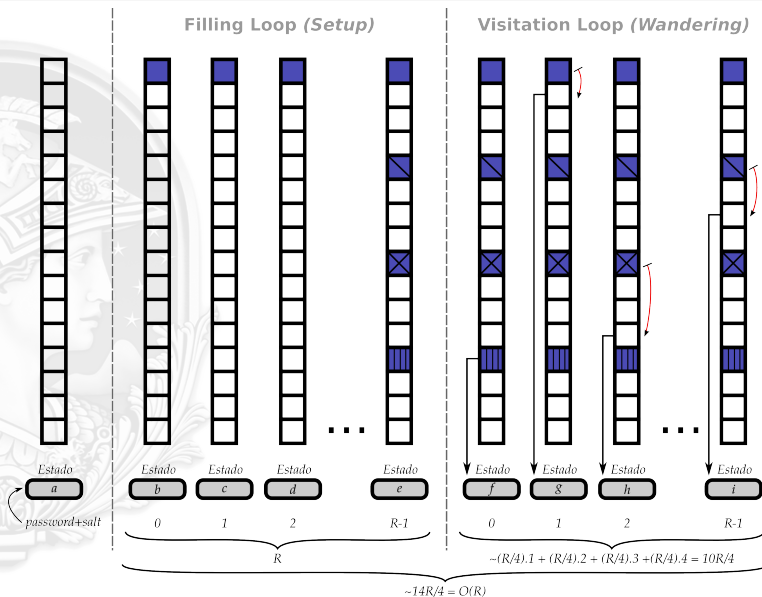
Low-Memory attack: scrypt



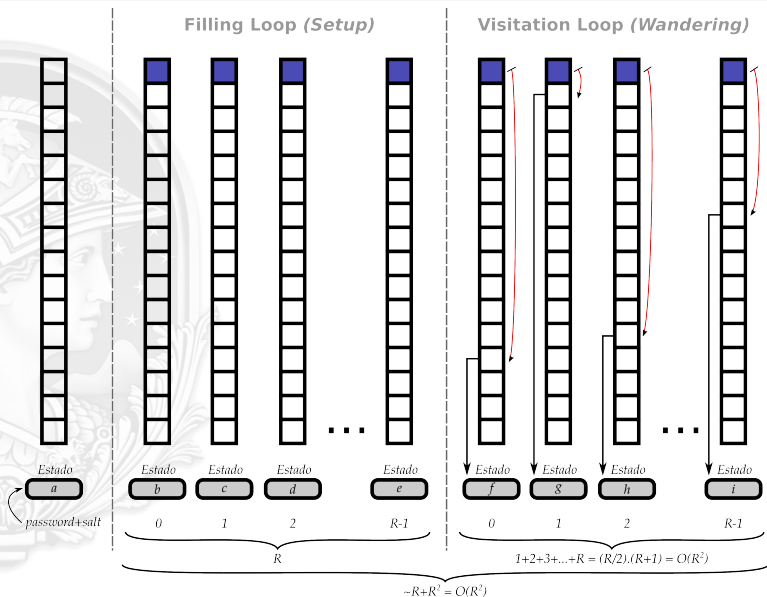
Low-Memory attack: scrypt



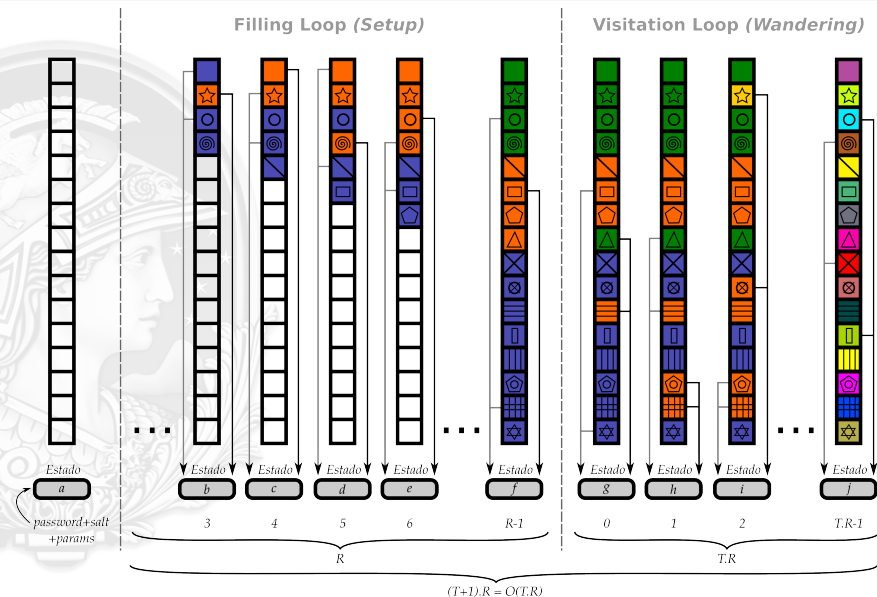
Low-Memory attack: scrypt



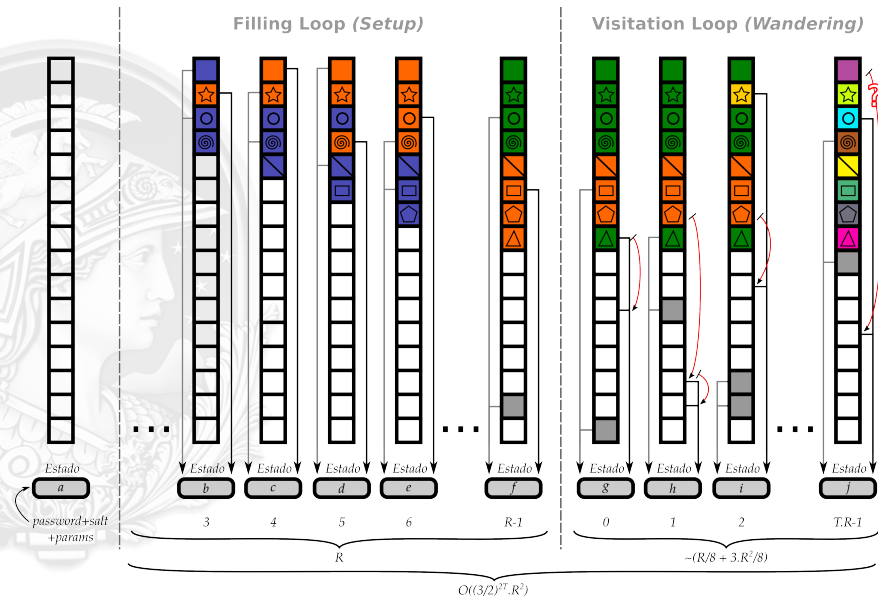
Low-Memory attack: scrypt



Low-Memory attack: Lyra2



Low-Memory attack: Lyra2

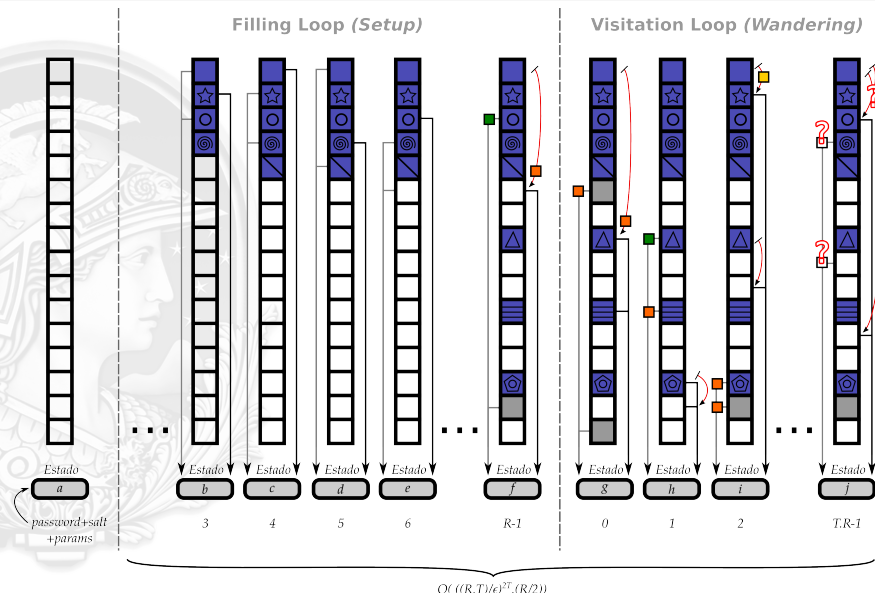


Low-Memory attack: Lyra2

- Quando a memória utilizada pelo atacante for **menor do que a metade** (i.e., $\frac{R}{2^{n+2}}$, onde $n \geq 0$)
- A “árvore de dependência” cresce significativamente, resultando em uma **complexidade aproximada de**:

$$\mathcal{O}(2^{2nT} R^{2+n/2}), \text{ para } n \gg 1$$

Low-Memory attack: Lyra2 (Sentinel-based)



Low-Memory attack: Sentinel-based strategy

- Utiliza uma máquina que possui diversos núcleos que podem acessar a memória simultaneamente sem restrições de banda (irreal)
- **Complexidade** aproximada de:

$$\mathcal{O}\left(((R \cdot T)/\epsilon)^{2T}(R/2)\right)$$

- Dependendo da configuração é **menos vantajosa** do que a estratégia *Consumer-producer*
 - Vantajosa quando o Lyra2 esteja configurado com **parâmetros reduzidos** (e.g., $T = 1$)

Slow-Memory and Cache-timing attacks



Slow-Memory

X



Cache-timing
(side-channel)

Slow-Memory and Cache-timing attacks



Slow-Memory



**Cache-timing
(side-channel)**

PHC special recognition

"abordagem alternativa para resistir a ataques por canal colateral" [PHC15]

Segurança: Visão Geral (finalistas PHC)

Algoritmo	TMTO	SM	SC	Hw/GPUs	GC
Argon2i [BDK16]	for $R' = R/6$ $\approx 2^{15.5} \cdot T \cdot R$	—	✓	✓	✓
Argon2d [BDK16]	for $R' = R/6$ $\approx 2^{19.6} \cdot T \cdot R$	✓	✗	✓	✓
battcrypt [Tho14]	—	✓	✗	✓	✓
Catena [FLW13]	$\mathcal{O}(1)$ $\Theta(R^{T+1})$	—	✓	✓	✓
Lyra2 [nosso]	Para $R' = R/2^{n+2}$, onde $n \geq 0$ $\mathcal{O}(2^{2nT} R^{2+n/2})$, para $n \gg 1$	✓	!	✓	✓
POMELO [Wu15]	—	✓	!	✓	✓
yescrypt [Pes15]	$\mathcal{O}(1)$ $\mathcal{O}(R^{T+1})$	✓	✗	✓	✓*
scrypt [Per09]	$\mathcal{O}(1)$ $\mathcal{O}(R^2)$	✓	✗	!	✗

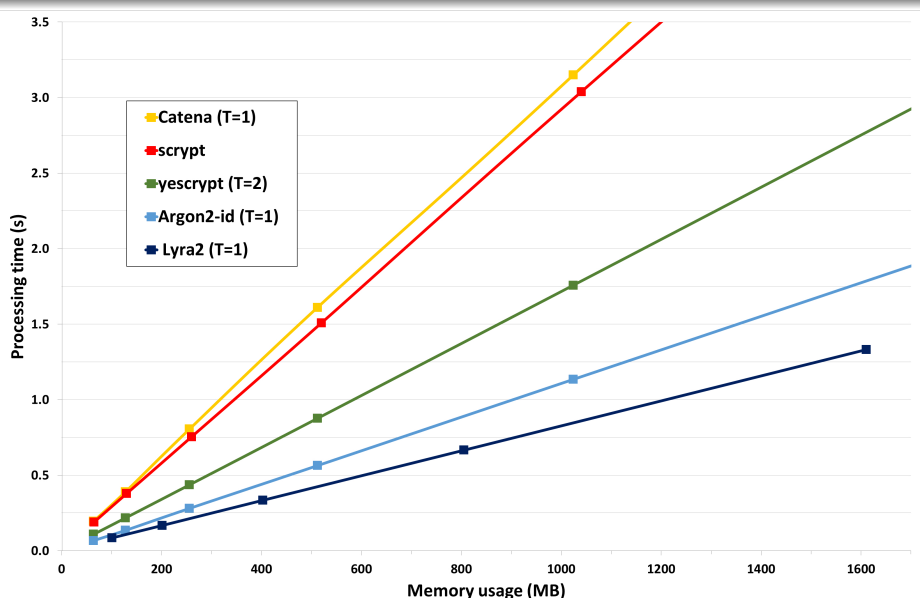
✓ - Possui proteção; ✗ - Não possui proteção; ! - Proteção parcial; — - Nada declarado.

Desempenho: chamadas à função subjacente

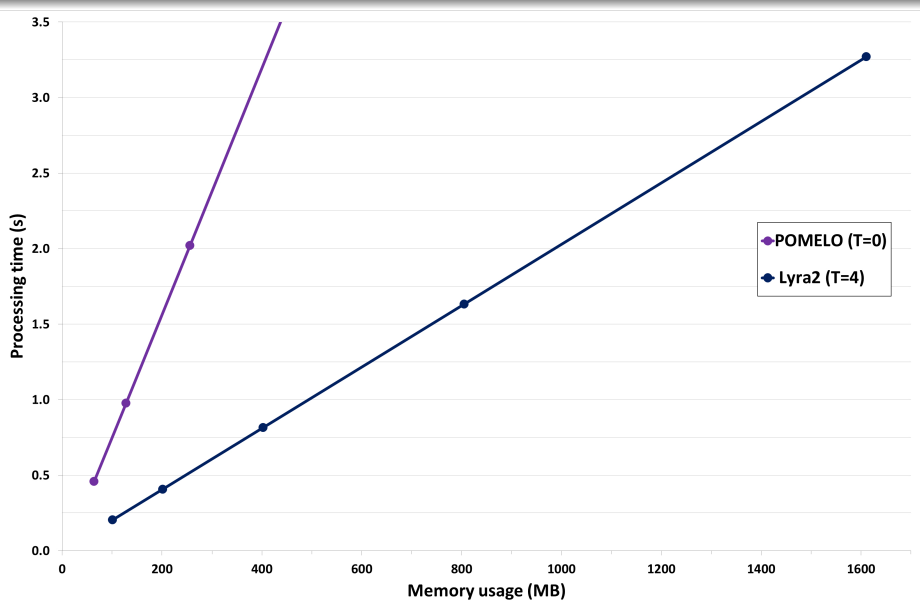
Algoritmo	Chamadas à função subjacente	Instruções SIMD
Argon2 [BDK16]	$2 \cdot T \cdot M$	Sim
battcrypt [Tho14]	$\{2^{\lfloor T/2 \rfloor} \cdot [(T \bmod 2) + 2] + 1\} \cdot M$	Não
Catena ¹ [FLW13]	$(T + 1) \cdot M$	Sim
Lyra2 [nosso]	$(T + 1) \cdot M$	Sim
POMELO [Wu15]	$(3 + 2^{2T}) \cdot M$	Não
yescrypt [Pes15]	$T \cdot M$	Sim
scrypt [Per09]	$2 \cdot M$	Sim

¹No Catena, o número exato de chamadas a função subjacente é definido pela equação $(g - g_0 + 1) \cdot (T + 1) \cdot M$, onde g e g_0 são, respectivamente, o atual e o mínimo “garlic”. Contudo, como normalmente $g = g_0$, optamos por utilizar a simplificação desta equação: $(T + 1) \cdot M$.

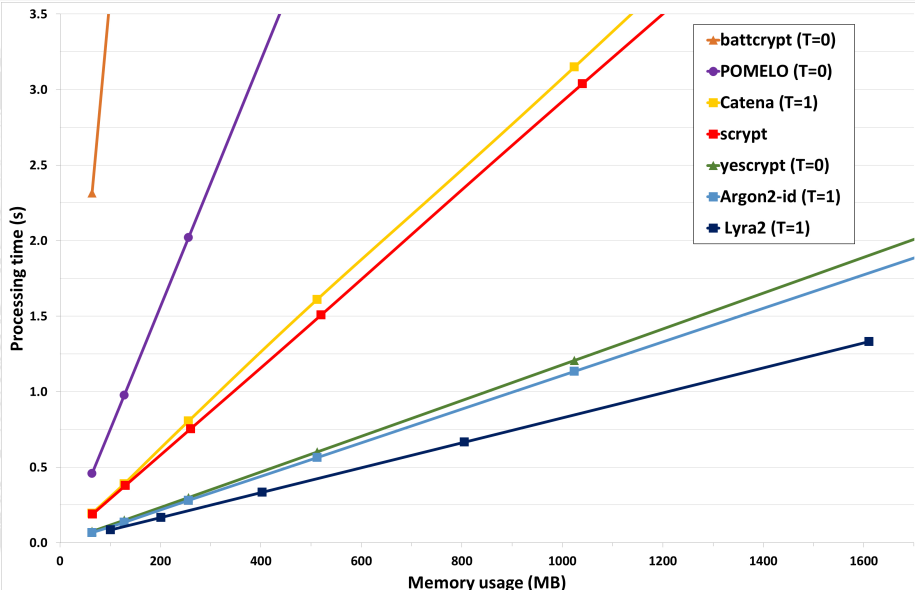
Desempenho (*chamadas comparáveis ao Lyra2 T = 1*)



Desempenho (*chamadas comparáveis ao Lyra2 T = 4*)



Desempenho (*parâmetros mínimos*)



Hardware dedicado / GPUs

- Melhoram o desempenho em software / aumentam o custo do hardware
 - Utilizar uma **quantidade significativa de memória** em plataformas legítimas (*bom desempenho em software*)
 - Tornar o algoritmo ajustável o suficiente para melhor utilizar a **hierarquia de memórias** (*registradores, cache, memória principal, ...*)

Hardware dedicado / GPUs

- **Dificulta o pipelining (TMT0)**
 - Ler **colunas** em ordem crescente e escrever em ordem decrescente (*Setup*)
- **Dificulta o prefetching / GPUs antigas**
 - Ler **colunas** de forma pseudo-aleatória e escrever em ordem crescente (*Wandering*)
- **Aumentam a latência em hardware**
 - Não utilizar somente operações de **XOR** (*adição normal*)
 - Utilizar funções de permutação que **priorizem implementações em software** (*Blake2,...*)
 - Disponibilizar funções de permutação que realizem **operações menos eficientes em hardware** (*BlaMka*)

Sumário

1 Introdução

- Motivação
- Objetivos
- Metodologia

2 Lyra2

- *The Bootstrapping phase*
- *The Setup phase*
- *The Wandering phase*
- *The Wrap-up phase*

3 Lyra2 x scrypt x finalistas do PHC

- Segurança
- Desempenho

4 BlaMka

- Resultados Parciais

5 Considerações Finais

- Principais Resultados
- Trabalhos Futuros

Visão Geral

- Busca por função de permutação que realize **operações menos eficientes em hardware**
- Mantenha a segurança do Blake2 (no mínimo)

$$\begin{aligned}
 a &\leftarrow a + b \\
 d &\leftarrow (d \oplus a) \ggg 32 \\
 c &\leftarrow c + d \\
 b &\leftarrow (b \oplus c) \ggg 24 \\
 a &\leftarrow a + b \\
 d &\leftarrow (d \oplus a) \ggg 16 \\
 c &\leftarrow c + d \\
 b &\leftarrow (b \oplus c) \ggg 63
 \end{aligned}$$

(a) Função G Blake2b,
baseada em adições.

$$\begin{aligned}
 a &\leftarrow a + b + 2 \cdot \text{lsw}(a) \cdot \text{lsw}(b) \\
 d &\leftarrow (d \oplus a) \ggg 32 \\
 c &\leftarrow c + d + 2 \cdot \text{lsw}(c) \cdot \text{lsw}(d) \\
 b &\leftarrow (b \oplus c) \ggg 24 \\
 a &\leftarrow a + b + 2 \cdot \text{lsw}(a) \cdot \text{lsw}(b) \\
 d &\leftarrow (d \oplus a) \ggg 16 \\
 c &\leftarrow c + d + 2 \cdot \text{lsw}(c) \cdot \text{lsw}(d) \\
 b &\leftarrow (b \oplus c) \ggg 63
 \end{aligned}$$

(b) Função G_{tls} BlaMka, baseada em
quadrados latinos truncados (tls).

Visão Geral

- Busca por função de permutação que realize **operações menos eficientes em hardware**
- Mantenha a segurança do Blake2 (no mínimo)

$$\begin{array}{lcl} a & \leftarrow & a + b \\ d & \leftarrow & (d \oplus a) \ggg 32 \\ c & \leftarrow & c + d \\ b & \leftarrow & (b \oplus c) \ggg 24 \\ a & \leftarrow & a + b \\ d & \leftarrow & (d \oplus a) \ggg 16 \\ c & \leftarrow & c + d \\ b & \leftarrow & (b \oplus c) \ggg 63 \end{array}$$

(a) Função G Blake2b,
baseada em adições.

$$\begin{array}{lcl} a & \leftarrow & a + b + 2 \cdot \text{lsw}(a) \cdot \text{lsw}(b) \\ d & \leftarrow & (d \oplus a) \ggg 32 \\ c & \leftarrow & c + d + 2 \cdot \text{lsw}(c) \cdot \text{lsw}(d) \\ b & \leftarrow & (b \oplus c) \ggg 24 \\ a & \leftarrow & a + b + 2 \cdot \text{lsw}(a) \cdot \text{lsw}(b) \\ d & \leftarrow & (d \oplus a) \ggg 16 \\ c & \leftarrow & c + d + 2 \cdot \text{lsw}(c) \cdot \text{lsw}(d) \\ b & \leftarrow & (b \oplus c) \ggg 63 \end{array}$$

(b) Função G_{tls} BlaMka, baseada em quadrados latinos truncados (tls).

Adoção

O Argon2 adotou o BlaMka como padrão [BDK16].

Desempenho (CPU)

Microarquitetura	Família CPU	Modelo	G	Implementação	Throughput (Gbps)	Throughput Ratio
Sandy Bridge	Intel Xeon	E5-2430	Blake2b BlaMka	Genérica Genérica	51.578 21.465	1 0.416

Tabela : Testes realizados em CPU, executando apenas um round da função G (i.e., 256 bits).

Desempenho (*Hardware dedicado*)

FPGA (ISE Design Suite)

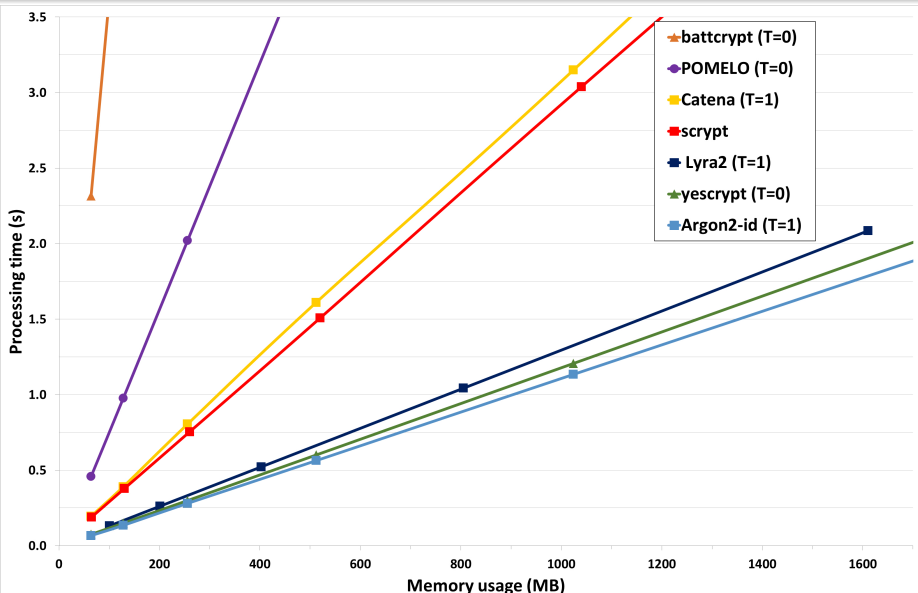
Tecnologia	Família FPGA	G	Implem.	Área		Throughput		Throughput Relativo
				Slices	Ratio	Gbps	Ratio	
90nm	Spartan 3E	Blake2b	Genérica	508	1	1.570	1	1
		BlaMka	Genérica	787	1.549	0.711	0.453	0.292
		BlaMka	Otimizada	3567	7.022	0.741	0.472	0.067

ASIC (Synopsys Design Compiler)

Tecnologia	Família	G	Implem.	Área		Throughput		Throughput Relativo
				μm^2	Ratio	Gbps	Ratio	
90nm	SAED	Blake2b	Genérica	40191	1	3.837	1	1
		EDK	BlaMka	107088	2.664	3.433	0.895	0.336
		90nm	BlaMka	142911	3.556	3.145	0.820	0.231

Tabela : Testes iniciais realizados em FPGA e ASIC, executando apenas um round da função G (i.e., 256 bits).

Desempenho (*Lyra2 utilizando BlaMka*)



Sumário

1 Introdução

- Motivação
- Objetivos
- Metodologia

2 Lyra2

- *The Bootstrapping phase*
- *The Setup phase*
- *The Wandering phase*
- *The Wrap-up phase*

3 Lyra2 x scrypt x finalistas do PHC

- Segurança
- Desempenho

4 BlaMka

- Resultados Parciais

5 Considerações Finais

- Principais Resultados
- Trabalhos Futuros

Resultados

- Neste trabalho apresentamos um **novo Esquema de Hash de Senhas** que:
 - É melhor do que as soluções pré-PHC
 - Contribuiu significativamente para o amadurecimento das soluções apresentadas no PHC
- **Mantêm a eficiência e a flexibilidade** do seu predecessor, e ainda **aumenta sua segurança** em termos de:
 - TMTD
 - Custos envolvidos na construção de um hardware dedicado
 - Equilíbrio entre ataques de canal colateral e ataque que se baseiam no uso de dispositivos de memória mais barata

Publicações, adoções e demais contribuições (*relacionados*)

PHC special recognition [PHC15]

Adoções

- Vertcoin migrou do scrypt para o Lyra2 [a4314, Day14]
- O Sgminer adicionou o Lyra2 em suas distribuições [Cry15]
- O Argon2 adotou o BlaMka como padrão [BDK16]

Publicações

- Lyra publicado no JCEN [AABS14]
- Lyra2 aceito no IEEE trans. on Computers [ASBS16]
- Resumo do Lyra2 apresentado no 3º WPG-EC, na LatinCrypt'14 e na ICISSP'16 [AS14b, AS14a, AS16]

Prêmio

- Melhor trabalho de doutorado [AS16, ICI16]

Publicações, adoções e demais contribuições (*PhD*)

Participação em projeto de pesquisa

- Segurança em Redes Virtuais para Computação em Nuvem (2013–2015)
- Padrão de defesa em sistema em nuvem (2016–Atual)

Publicações

Capítulo de livro

- BARROS, B. M.; SIMPLICIO JUNIOR, M. A.; CARVALHO, T. C.; ROJAS, M. A. T.; REDIGOLO, F. F.; **ANDRADE, E. R.**; MAGRI, D. R. C.. *Applying Software-defined Networks to Cloud Computing*. In: MARTINELLO, M.; ROBEIRO, M. R. N.; ROCHA, A. A. A. (Org.). Minicursos do XXXIII SBRC. 1ed. Porto Alegre/RS: SBC, 2015, v. 1, p. 1-54.

Conferências

- ALMEIDA, T. R. M.; **ANDRADE, E. R.**; BARROS, B. M.; SIMPLICIO JUNIOR, M. A.. *Avaliação de Desempenho em Nuvens Computacionais utilizando IPsec em conjunto com SR-IOV*. In: Anais / XXXIV SBrT, Santarém, PA. Porto Alegre: SBC, 2015.
- ATENIESE, G.; MAGRI, B.; VENTURI, D.; **ANDRADE, E. R.**. *Redactable Blockchain – or – Rewriting History in Bitcoin*. In: Proceedings of 23nd ACM CCS, Vienna, Austria. **Submetido**.

Comissão de avaliação

- SIIC-USP 2014, SBSEG'15, FEBRACE'15, FEBRACE'16, EUROCRYPT'16.

Trabalhos Futuros

- Estender os estudos do BlaMka
- Lyra2 e GPUs (*friendly* e *unfriendly*)
- Lyra2 totalmente resistente a ataques por canal colateral
- O quão próximo ao melhor resultado possível é a escolha de índices da fase de *Setup* do Lyra2



Obrigado!

Referências I

- [a4314] a432511. PoW Algorithm Upgrade: Lyra2 – Vertcoin.
<https://vertcoin.org/pow-algorithm-upgrade-lyra2/>. Accessed: 2015-05-06., 2014.
- [AABS14] L. C. Almeida, E. R. Andrade, P. S. L. M. Barreto e M. A. Simplicio Jr. Lyra: Password-Based Key Derivation with Tunable Memory and Processing Costs. *Journal of Cryptographic Engineering*, 4(2):75–89, 2014. See also <http://eprint.iacr.org/2014/030>.
- [AS14a] E. R. Andrade e M. A. Simplicio Jr. Lyra2: a password hashing schemes with tunable memory and processing costs. Third International Conference on Cryptology and Information Security in Latin America, LATINCRYPT'14. Florianópolis, Brazil.<http://latinrypt2014.labsec.ufsc.br/>, 2014.
- [AS14b] E. R. Andrade e M. A. Simplicio Jr. Lyra2: Um Esquema de Hash de Senhas com custos de memória e processamento ajustáveis, October 2014.
- [AS16] E. R. Andrade e M. A. Simplicio Jr. Lyra2: Efficient Password Hashing with high security against Time-Memory Trade-Offs. Em Doctoral Consortium – Proceedings of 2nd International Conference on Information Systems Security and Privacy, ICISSP 2016, Rome, Italy, February 2016. Institute for Systems and Technologies of Information, INSTICC. <http://www.icisssp.org/?y=2016>.
- [ASBS16] E. R. Andrade, M. A. Simplicio Jr, P. S. L. M. Barreto e P. C. F. dos Santos. Lyra2: efficient password hashing with high security against time-memory trade-offs. IEEE Transactions on Computers, PP(99), 2016. See also <http://eprint.iacr.org/2015/136>.
- [BDK16] A. Biryukov, D. Dinu e D. Khrvatovich. Argon2: the memory-hard function for password hashing and other applications. Password Hashing Competition, Luxembourg, v1.3 of argon2 edição, Feb 2016.
<https://github.com/P-H-C/phc-winner-argon2/blob/master/argon2-specs.pdf>.
- [BDPA07] G. Bertoni, J. Daemen, M. Peeters e G. Van Assche. Sponge functions. (ECRYPT Hash Function Workshop 2007), 2007. <http://sponge.noekeon.org/SpongeFunctions.pdf>. Accessed: 2015-06-09.
- [Cry15] Crypto Mining. Updated Windows Binary of sgminer 5.1.1 With Fixed Lyra2Re Support – Crypto Mining Blog. <http://cryptomining-blog.com/4535-updated-windows-binary-of-sgminer-5-1-1-with-fixed-lyra2re-support/>, 2015.

Referências II

- [Day14] Timothy Day. Vertcoin (VTC) plans algorithm change to Lyra2 – coinbrief. <http://coinbrief.net/vertcoin-algorithm-change-lyra2/>. Accessed: 2015-05-06, 2014.
- [FH07] D. Florencio e C. Herley. A Large-scale Study of Web Password Habits. Em Proceedings of the 16th International Conference on World Wide Web, páginas 657–666, New York, NY, USA, 2007. ACM.
- [FLW13] C. Forler, S. Lucks e J. Wenzel. Catena: A Memory-Consuming Password Scrambler. Cryptology ePrint Archive, Report 2013/525, 2013. <http://eprint.iacr.org/2013/525>. Accessed: 2014-03-03.
- [ICI16] ICISSP. Previous awards. International Conference on Information Systems Security and Privacy – website, 2016. <http://www.icissp.org/PreviousAwards.aspx>.
- [Per09] C. Percival. Stronger key derivation via sequential memory-hard functions. Em BSDCan 2009 – The Technical BSD Conference, Ottawa, Canada, 2009. University of Ottawa. See also: http://www.bsdcan.org/2009/schedule/attachments/87_scrypt.pdf. Accessed: 2013-12-09.
- [Pes15] A. Peslyak. yescrypt - a Password Hashing Competition submission. Password Hashing Competition, Moscow, Russia, v1 edição, Jan 2015. <https://password-hashing.net/submissions/specs/yescrypt-v0.pdf>. Accessed: 2015-05-22.
- [PHC15] PHC. Password Hashing Competition. <https://password-hashing.net/#phc.>, 2015.
- [SO12] D. Song e J. Oberheide. Modern Two-Factor Authentication: Defending Against User-Targeted Attacks. Duo Security, 2012. <https://speakerdeck.com/duosec/modern-two-factor-authentication-defending-against-user-targeted-attacks>.
- [Tho14] S. Thomas. battcrypt (Blowfish All The Things). Password Hashing Competition, Lisle, IL, USA, v0 edição, Mar 2014. <https://password-hashing.net/submissions/specs/battcrypt-v0.pdf>.
- [Wu15] H. Wu. POMELO – A Password Hashing Algorithm (Version 2). Password Hashing Competition, Nanyang Ave, Singapore, v3 edição, Apr 2015. <https://password-hashing.net/submissions/specs/POMELO-v3.pdf>.

Créditos

- A imagem utilizada como plano de fundo em todos os slides segue a licença de uso que consta em <http://www.poli.usp.br> – © Escola Politécnica da USP.
- A imagem utilizada no slide de Motivação foi retirada de [SO12] e segue a licença de uso © GitHub Inc.
- A imagem utilizada no slide de Motivação (*Cont.*) foi adaptada de imagens dos sites: <http://1aled.fotomaps.ru/> e <http://www.harvestsolutions.net/>, seguindo suas respectivas licenças de uso.
- A imagem utilizada no slide de Metodologia foi retirada do site <http://corneralliance.com/> e segue a licença de uso que consta no respectivo site.
- As imagens utilizadas no slide *Slow-Memory and Cache-timing attacks* foram retiradas dos sites <http://www.toshiba.com/>, <http://www.engadget.com/> e <https://wiki.teamfortress.com/>; e seguem as licenças de uso que constam nos respectivos sites.
- As demais imagens utilizadas ao longo desta apresentação foram confeccionadas pelos autores.